

## Compléments de calcul intégral

### 1 Notions sur les nappes paramétrées

#### 1.1 Définitions

$\mathbb{R}^3$  est muni de sa structure affine canonique (euclidienne, orientée).

**Définition 1** Une nappe paramétrée de classe  $C^k$  ( $k \in \mathbb{N}$ ,  $k \geq 1$ ) de  $\mathbb{R}^3$  est une application

$$F : \begin{cases} \Omega & \rightarrow \mathbb{R}^3 \\ (u, v) & \mapsto M = F(u, v) \end{cases}$$

définie sur un ouvert  $\Omega$  de  $\mathbb{R}^2$ .

On pourrait, comme dans le cas des arcs paramétrés, définir une notion d'indépendance du paramétrage et parler de *nappe géométrique*. Dans toute la suite on confond cette notion avec celle d'*image* (ou *support*)  $\Gamma$  de l'application  $F$  et on admet que les définitions et théorèmes énoncés ne dépendent que des propriétés géométriques intrinsèques de la partie de  $\mathbb{R}^3$  étudiée (plutôt que de la façon dont elle est paramétrée).

**Exemple 1** l'application

$$F : \begin{cases} [0, 2\pi] \times [0, \frac{\pi}{2}] & \rightarrow \mathbb{R}^3 \\ (\theta, \varphi) & \mapsto M = F(\theta, \varphi) = \begin{pmatrix} a \cos \theta \sin \varphi \\ a \sin \theta \sin \varphi \\ a \cos \varphi \end{pmatrix} \end{cases}$$

est un paramétrage d'une calotte hémisphérique de rayon  $a$ .

**Définition 2**  $M = F(u, v)$  est un point régulier de  $\Gamma = \text{Im}(F)$  si la différentielle de  $F$  en  $(u, v)$  :  $dF(u, v)$  est une application linéaire injective de  $\mathbb{R}^2$  dans  $\mathbb{R}^3$ .

$\text{Im}(dF(u, v))$  est engendrée par  $dF(u, v) \bullet e_1$  et  $dF(u, v) \bullet e_2$  soit  $\frac{\partial \vec{M}}{\partial u}(u, v)$  et  $\frac{\partial \vec{M}}{\partial v}(u, v)$ . Si (et seulement si)  $M = F(u, v)$  est régulier,  $\left(\frac{\partial \vec{M}}{\partial u}(u, v), \frac{\partial \vec{M}}{\partial v}(u, v)\right)$  est libre donc engendre un plan de  $\mathbb{R}^3$ .

**Définition 3** Le plan tangent à  $\Gamma$  en  $M = F(u, v)$  est

$$T_M = M + \text{Im}(dF(u, v)).$$

Il est dirigé par  $\frac{\partial \vec{M}}{\partial u}(u, v)$  et  $\frac{\partial \vec{M}}{\partial v}(u, v)$ . C'est intuitivement le plan qui "ressemble le plus" à  $\Gamma$  au voisinage de  $M$ . En effet, les vecteurs  $\frac{\partial \vec{M}}{\partial u}(u, v)$  et  $\frac{\partial \vec{M}}{\partial v}(u, v)$  (non nuls) sont les vecteurs tangents à deux courbes tracées sur  $\Gamma$ , obtenues en ne faisant varier que  $u$  (resp.  $v$ ).

**Définition 4** "Le" vecteur normal à  $\Gamma = \text{Im}(F)$  en  $M = F(u, v)$  est

$$\vec{K} = \vec{K}(u, v) = \frac{\partial \vec{M}}{\partial u}(u, v) \wedge \frac{\partial \vec{M}}{\partial v}(u, v). \quad (1)$$

Lorsque  $M$  est régulier,  $\vec{K}$  n'est pas nul, et est normal à la nappe  $\Gamma$  (c'est à dire au plan tangent à  $\Gamma$  en  $M$ ).

### 1.2 Cas particuliers

#### 1.2.1 Paramétrage cartésien quelconque

$x = x(u, v)$ ,  $y = y(u, v)$ ,  $z = z(u, v)$ .  $M$  est régulier ssi

$$\frac{\partial \vec{M}}{\partial u} = \begin{pmatrix} x'_u \\ y'_u \\ z'_u \end{pmatrix} \text{ et } \frac{\partial \vec{M}}{\partial v} = \begin{pmatrix} x'_v \\ y'_v \\ z'_v \end{pmatrix}$$

sont linéairement indépendants ; le plan tangent a pour équation

$$\begin{vmatrix} X-x(u,v) & x'_u & x'_v \\ Y-y(u,v) & y'_u & y'_v \\ Z-z(u,v) & z'_u & z'_v \end{vmatrix} = 0 ;$$

le vecteur normal est

$$\vec{K} = \frac{D(y,z)}{D(u,v)} \vec{i} + \frac{D(z,x)}{D(u,v)} \vec{j} + \frac{D(x,y)}{D(u,v)} \vec{k}.$$

#### 1.2.2 les paramètres sont $x$ et $y$ , et $z = z(x, y)$

Alors le vecteur normal est

$$\begin{aligned} \vec{K} &= \frac{\partial \vec{M}}{\partial x} \wedge \frac{\partial \vec{M}}{\partial y} = (\vec{i} + z'_x \vec{k}) \wedge (\vec{j} + z'_y \vec{k}) \\ &= -z'_x \vec{i} - z'_y \vec{j} + \vec{k}. \end{aligned}$$

#### 1.2.2.1 Coordonnées cylindriques

$M = O + r \vec{u}(\theta) + z \vec{k}$ . Dans le cas général  $r$ ,  $\theta$  et  $z$  sont fonction de deux paramètres abstraits  $u$  et  $v$ .

#### 1.2.2.2 Les paramètres sont $r$ et $\theta$

$M = r \vec{u}(\theta) + z(r, \theta) \vec{k}$ .  $\frac{\partial \vec{M}}{\partial r} = \vec{u} + z'_r \vec{k}$  ;  $\frac{\partial \vec{M}}{\partial \theta} = r \vec{u}' + z'_\theta \vec{k}$ . Le vecteur normal est

$$\begin{aligned} \vec{K} &= \frac{\partial \vec{M}}{\partial r} \wedge \frac{\partial \vec{M}}{\partial \theta} = (\vec{u} + z'_r \vec{k}) \wedge (r \vec{u}' + z'_\theta \vec{k}) \\ &= -r z'_r \vec{u} - z'_\theta \vec{u}' + r \vec{k}. \end{aligned}$$

#### 1.2.2.3 Surface de révolution

$z = z(r)$  est indépendant de  $\theta$ . On peut mettre  $r$  en facteur dans l'expression du vecteur normal :

$$\frac{1}{r} \vec{K} = -z'(r) \vec{u} + \vec{k}.$$

#### 1.2.2.4 Conoïde droit d'axe $Oz$

$z = z(\theta)$  est indépendant de  $r$ . Alors

$$\vec{K} = -z'(\theta) \vec{u}' + r \vec{k}.$$

#### 1.2.2.5 Surface définie par une équation

$\Sigma \mid H(x, y, z) = 0$ . On montre alors (cf. "tangentes aux courbes algébriques") qu'un<sup>1</sup> vecteur normal à  $\Gamma$  est

$$\frac{\partial H}{\partial x} \vec{i} + \frac{\partial H}{\partial y} \vec{j} + \frac{\partial H}{\partial z} \vec{k}.$$

<sup>1</sup>Attention, ce n'est peut-être pas le vecteur normal.

## 2 Aire d'une portion de nappe

Soit  $\Gamma$  l'image d'une nappe paramétrée  $\mathcal{C}^1$

$$F : \Omega \rightarrow \mathbb{R}^3 ; (u, v) \mapsto M = F(u, v).$$

Soit  $\Sigma$  une partie mesurable de  $\Gamma$ .

**Définition 5** L'aire de la portion de nappe (image de)  $\Sigma$  est

$$\mathcal{A} = \int_{\Sigma} d\mu = \int_{\Sigma} \left\| \frac{\partial \vec{M}}{\partial u} \wedge \frac{\partial \vec{M}}{\partial v} \right\| du dv \quad (2)$$

où l'élément différentiel

$$d\mu = \left\| \frac{\partial \vec{M}}{\partial u} \wedge \frac{\partial \vec{M}}{\partial v} \right\| du dv$$

est appelé élément d'aire de  $\Sigma$ .

### 2.1 coordonnées cartésiennes

$$M = M(u, v) = O + x(u, v) \vec{i} + y(u, v) \vec{j} + z(u, v) \vec{k};$$

$$\vec{K} = \frac{D(y,z)}{D(u,v)} \vec{i} + \frac{D(z,x)}{D(u,v)} \vec{j} + \frac{D(x,y)}{D(u,v)} \vec{k}$$

donc

$$d\mu = \sqrt{\left(\frac{D(y,z)}{D(u,v)}\right)^2 + \left(\frac{D(z,x)}{D(u,v)}\right)^2 + \left(\frac{D(x,y)}{D(u,v)}\right)^2} du dv.$$

**Cas particulier :** Les paramètres sont  $x$  et  $y$ .

$$z = z(x, y); \vec{K} = -z'_x \vec{i} - z'_y \vec{j} + \vec{k} \text{ et}$$

$$d\mu = \sqrt{1 + z'^2_x + z'^2_y} dx dy.$$

### 2.2 coordonnées cylindriques

$$M = O + r \vec{u}(\theta) + z(r, \theta) \vec{k};$$

$$\vec{K} = \frac{\partial \vec{M}}{\partial r} \wedge \frac{\partial \vec{M}}{\partial \theta} = -r z'_r \vec{u} - z'_\theta \vec{u}' + r \vec{k}$$

donc

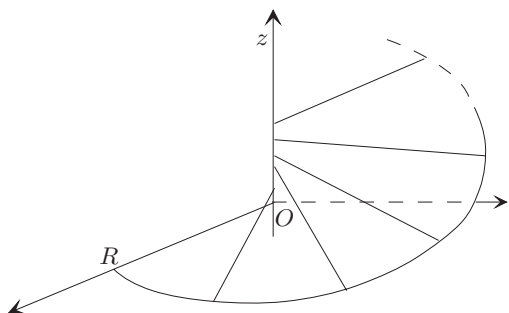
$$d\mu = \sqrt{r^2(1 + z'^2_r) + z'^2_\theta} dr d\theta.$$

#### 2.2.1 Cas particuliers

##### 2.2.1.1 Conoïde droit d'axe $Oz$ ( $z = z(\theta)$ ).

$$d\mu = \sqrt{r^2 + z'^2_\theta} dr d\theta.$$

**Exemple 2** hélicoïde  $z = a\theta$ ,  $0 \leq \theta \leq 2\pi$ ,  $0 \leq r \leq R$ .

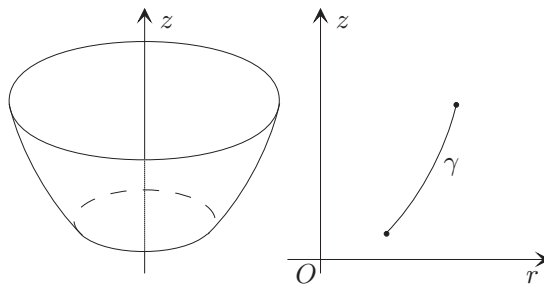


$$z'_\theta = a; d\mu = \sqrt{r^2 + a^2} dr d\theta \text{ et}$$

$$\begin{aligned} \mu &= \int_0^{2\pi} d\theta \int_0^R \sqrt{r^2 + a^2} dr \\ &= 2\pi \frac{a^2}{2} \left( \arg \operatorname{sh} \frac{R}{a} + \frac{R}{a} \sqrt{1 + \frac{R^2}{a^2}} \right) \\ &= \pi a^2 \ln \left( \frac{R}{a} + \sqrt{1 + \frac{R^2}{a^2}} \right) + \pi R \sqrt{a^2 + R^2}. \end{aligned}$$

##### 2.2.1.2 Surface de révolution ( $z = z(r)$ ).

$\vec{K} = r(-z'_r \vec{u} + \vec{k})$  et  $d\mu = r \sqrt{1 + z'^2_r} dr d\theta$ . Supposons le morceau de nappe  $\Sigma$  engendré par la révolution complète d'un arc plan  $\gamma$  :



L'abscisse curviligne  $s$  sur  $\gamma$  vérifie  $ds^2 = dz^2 + dr^2 = dr^2 \left(1 + \left(\frac{dz}{dr}\right)^2\right)$  soit  $ds = dr \sqrt{1 + z'^2_r}$  et donc  $d\mu = r d\theta ds$  d'où enfin

$$\mu = 2\pi \int_{\gamma} r ds.$$

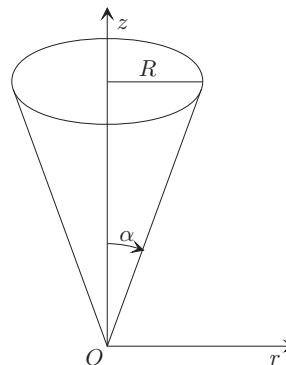
**Remarque 1** Le centre de gravité  $G$  de l'arc  $\gamma$  vérifie  $L(\gamma) r_G = \int_{\gamma} r ds$ , ce qui donne en combinant avec la formule précédente le

**Théorème 1 (Guldin)** L'aire du morceau de nappe  $\Sigma$  engendré par la révolution complète de l'arc plan  $\gamma$  est égal au produit de la longueur de  $\gamma$  par celle du cercle décrit par le centre de gravité  $G$  de  $\gamma$  :

$$\mu = (2\pi r_G) L(\gamma).$$

Un semblable résultat existe pour les volumes.

**Exemple 3** cône  $z = r \cotan \alpha$ ,  $0 \leq r \leq R$ .



$$ds = dr \sqrt{1 + \cotan^2 \alpha} = \frac{dr}{\sin \alpha}; s = \frac{r}{\sin \alpha} \text{ et :}$$

$$\mu = 2\pi \int_0^R \frac{r dr}{\sin \alpha} = \frac{\pi R^2}{\sin \alpha}.$$

**Remarque 2**  $\mu = (2\pi \frac{R}{2}) (\frac{R}{\sin \alpha})$ , cf. th. 1.

**Exemple 4** sphère  $x^2 + y^2 + z^2 = R^2 = r^2 + z^2$ .  
 $r dr + z dz = 0$  donc  $\frac{dz}{dr} = z'_r = -\frac{r}{z}$  ;

$$d\mu = r \sqrt{1 + \frac{r^2}{z^2}} dr d\theta = R \frac{r}{z} dr d\theta.$$

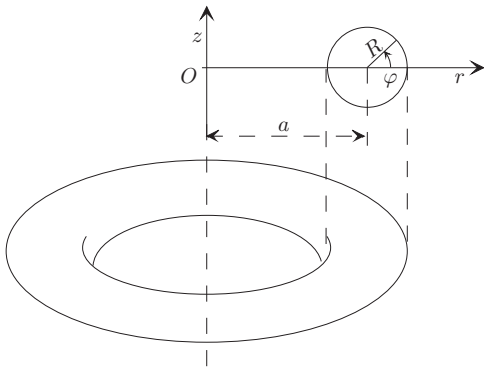
Pour le calcul passons en coordonnées sphériques en posant  $z = R \cos \varphi$ ,  $r = R \sin \varphi$  d'où  $dr = R \cos \varphi d\varphi$  et

$$\begin{aligned} d\mu &= R \frac{\sin \varphi}{\cos \varphi} R \cos \varphi d\varphi d\theta \\ &= R^2 \sin \varphi d\varphi d\theta \end{aligned}$$

et finalement :

$$\mu = R^2 \int_0^{2\pi} d\theta \int_0^\pi \sin \varphi d\varphi = 4\pi R^2.$$

**Exemple 5** tore



$$\begin{aligned} \mu &= 2\pi \int_{\Sigma} r ds \text{ avec } ds = R d\varphi : \\ \mu &= 2\pi R \int_0^{2\pi} (a + R \cos \varphi) d\varphi = 4\pi^2 a R. \end{aligned}$$

**Remarque 3**  $\mu = (2\pi a)(2\pi R)$  — cf. th. 1.

### 3 Flux d'un champ de vecteurs à travers une portion de nappe

Soit  $\Gamma$  l'image d'une nappe paramétrée orientée  $\mathcal{C}^1$

$$F : \Omega \rightarrow \mathbb{R}^3 ; (u, v) \mapsto M = F(u, v).$$

Soit  $\Sigma$  une partie mesurable de  $\Omega$ . Soit  $\vec{V}$  un champ de vecteurs continu au voisinage de  $\Sigma$ .

**Définition 6** Le flux de  $\vec{V}$  à travers la portion de nappe  $\Sigma$  est le réel

$$\begin{aligned} \iint_{\Sigma} \vec{V} \cdot d\vec{S} &= \iint_{\Sigma} (\vec{V}(M(u, v)) \mid \vec{K}(u, v)) du dv \\ &= \iint_{\Sigma} \text{Det} \left( \vec{V}(M), \frac{\partial \vec{M}}{\partial u}, \frac{\partial \vec{M}}{\partial v} \right) du dv. \end{aligned}$$

**Exemple 6** Flux de  $\vec{V} = y\vec{i} + x\vec{j} + (x+y)\vec{k}$  à travers

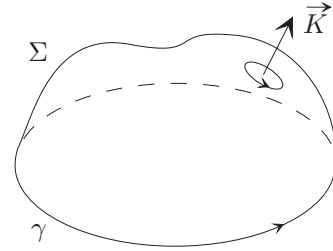
$$\Sigma : \begin{cases} x + 2y + z = 2 \\ x, y, z \geq 0 \end{cases}.$$

Préciser l'orientation choisie pour  $\Sigma$  (càd pour le vecteur  $\vec{K}$  normal à  $\Sigma$ ).

### 3.1 Formule de Stokes

Soit  $\Gamma$  l'image d'une nappe paramétrée orientée de classe  $\mathcal{C}^1$   $F : \Omega \rightarrow \mathbb{R}^3 ; (u, v) \mapsto M = F(u, v)$ .

Soit  $\Sigma$  une partie mesurable de  $\Omega$  dont le bord est l'arc  $\gamma$  muni de l'orientation correspondante ("règle du tire-bouchon").



Soit  $\vec{V}$  un champ de vecteurs  $\mathcal{C}^1$  au voisinage de  $\Sigma$ .

**Théorème 2 (Stokes)** La circulation de  $\vec{V}$  le long de  $\gamma$  est égale au flux du rotationnel de  $\vec{V}$  à travers  $\Sigma$  :

$$\int_{\gamma} \vec{V} \cdot d\vec{M} = \iint_{\Sigma} \text{rot} \vec{V} \cdot d\vec{S}. \quad (3)$$

### 3.2 Formule d'Ostrogradsky

Soit  $\mathcal{V}$  une partie bornée de  $\mathbb{R}^3$  dont le bord est la nappe  $\mathcal{C}^1$  (fermée)  $\Sigma$ , munie de l'orientation canonique du vecteur normal vers l'extérieur.

Soit  $\vec{V}$  un champ de vecteurs  $\mathcal{C}^1$  au voisinage de  $\Sigma$ .

**Théorème 3 (Ostrogradsky)** Le flux ("sortant") de  $\vec{V}$  à travers  $\Sigma$  est égal à l'intégrale sur  $\mathcal{V}$  de la divergence de  $\vec{V}$  :

$$\iint_{\Sigma} \vec{V} \cdot d\vec{S} = \iiint_{\mathcal{V}} \text{div} \vec{V} d\tau, \quad (4)$$

$d\tau$  dénotant l'élément de volume de  $\mathcal{V}$ .

### 3.3 Formule de Green-Riemann

La formule de GREEN-RIEMANN est un cas particulier du théorème de STOKES. On se place dans le cas d'une portion de nappe plane  $\Sigma$  (càd, contenue dans un plan), limitée par une courbe fermée (plane)  $\gamma$ .

On considère d'autre part un champ de vecteurs plan  $\vec{V}$  (càd, pour tout  $M \in \Omega$ ,  $\vec{V}(M)$  est parallèle à  $\Sigma$ ), et  $\mathcal{C}^1$  au voisinage de  $\Sigma$ .

On se retrouve dans le cadre de STOKES en considérant que le plan en question est le plan  $\mathcal{P} = (O ; (\vec{i}, \vec{j}))$  de  $\mathbb{R}^3$ . Si  $M = F(x, y) = O + x\vec{i} + y\vec{j}$ , l'orientation de  $\mathcal{P}$  est définie par le vecteur normal

$$\vec{K} = \frac{\partial \vec{M}}{\partial x} \wedge \frac{\partial \vec{M}}{\partial y} = \vec{i} \wedge \vec{j} = \vec{k}.$$

Notant d'autre part  $\vec{V} = P\vec{i} + Q\vec{j} + 0\vec{k}$ , le rotationnel de  $\vec{V}$  est

$$\text{rot} \vec{V} = 0\vec{i} + 0\vec{j} + \left( \frac{\partial Q}{\partial x} - \frac{\partial P}{\partial y} \right) \vec{k},$$

donc le théorème de STOKES donne :

**Théorème 4 (Green-Riemann)**

$$\int_{\gamma} P dx + Q dy = \iint_{\Sigma} \left( \frac{\partial Q}{\partial x} - \frac{\partial P}{\partial y} \right) dx dy. \quad (5)$$

## 4 Application aux calculs d'aires planes

On peut utiliser la formule de GREEN-RIEMANN pour calculer l'aire de la portion de plan  $\Sigma$  : il suffit de choisir convenablement  $P$  et  $Q$  pour avoir au second membre l'élément d'aire du plan ( $dx dy$  ou  $r dr d\theta$ ).

### 4.1 Coordonnées cartésiennes

On doit avoir  $\frac{\partial Q}{\partial x} - \frac{\partial P}{\partial y} = 1$  donc par exemple :

- $P = 0, Q = x : \mu = \int_{\gamma} x dy$  ;
- $P = -y, Q = 0 : \mu = -\int_{\gamma} y dx$  ;
- $P = -\frac{y}{2}, Q = \frac{x}{2} :$

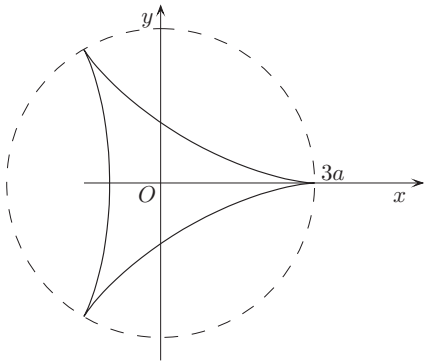
$$\mu = \frac{1}{2} \int_{\gamma} x dy - y dx,$$

cette dernière forme permettant souvent de profiter des symétries que peut présenter  $\Sigma$ , cf. l'exemple suivant :

#### Exemple 7 deltoïde

$$\begin{cases} x = a(2 \cos t + \cos 2t) \\ y = a(2 \sin t - \sin 2t) \end{cases}.$$

C'est l'*hypocycloïde*<sup>2</sup> à trois points de rebroussement (lieu d'un point d'un cercle de rayon  $a$  roulant sans glisser à l'intérieur d'un cercle de rayon  $3a$ ). Pour cette raison, on verrait mieux en coordonnées polaires l'invariance par rotation de centre  $O$  et d'angle  $\frac{2\pi}{3}$ . Néanmoins, les coordonnées cartésiennes sont bien adaptées au calcul de l'aire.



On utilise la troisième forme de GREEN-RIEMANN :

$$\begin{aligned} \mu &= \frac{1}{2} \int_{-\pi}^{\pi} x dy - y dx = \int_0^{\pi} x dy - y dx \\ &= 2a^2 \int_0^{\pi} (2 \cos t + \cos 2t) (\cos t - \cos 2t) \\ &\quad - (2 \sin t - \sin 2t) (-\sin t - \sin 2t) dt \\ &= 2a^2 \int_0^{\pi} (1 + \sin t \sin 2t - \cos t \cos 2t) dt \\ &= 2a^2 \int_0^{\pi} (1 - 3 \cos t) dt = 2a^2 \left[ t - \frac{\sin 3t}{3} \right]_0^{\pi} \\ &= 2\pi a^2. \end{aligned}$$

<sup>2</sup> Cf. TD "épi- / hypocycloïdes".

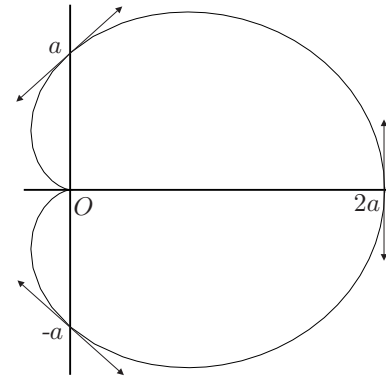
## 4.2 Coordonnées polaires

On peut aussi envisager le cas des coordonnées polaires. La formule de GREEN-RIEMANN devient alors (en remplaçant  $x$  et  $y$  par  $r$  et  $\theta$ ) :  $\int_{\gamma} P dr + Q d\theta = \iint_{\Sigma} \left( \frac{\partial Q}{\partial r} - \frac{\partial P}{\partial \theta} \right) dr d\theta$ , et pour que l'intégrande coïncide avec l'élément d'aire  $r dr d\theta$  des polaires on doit avoir  $\frac{\partial Q}{\partial r} - \frac{\partial P}{\partial \theta} = r$  ; un choix classique est :  $P = 0, Q = \frac{r^2}{2}$  d'où

$$\mu = \frac{1}{2} \int_{\gamma} r^2 d\theta.$$

#### Exemple 8 cardioïde $r = a(1 + \cos \theta)$ .

La cardioïde est l'*épicycloïde*<sup>2</sup> à un point de rebroussement : lieu d'un point d'un cercle de rayon  $a$  roulant sans glisser à l'extérieur d'un autre cercle de même rayon  $a$ .



On applique directement la formule ci-dessus :

$$\begin{aligned} \mu &= 2 \int_0^{\pi} \frac{a^2 (1 + \cos \theta)^2}{2} d\theta \\ &= a^2 \int_0^{\pi} (1 + 2 \cos \theta + \cos^2 \theta) d\theta \\ &= a^2 \int_0^{\pi} \left( 1 + 2 \cos \theta + \frac{1}{2} (1 + \cos 2\theta) \right) d\theta \\ &= a^2 \left[ \frac{3\theta}{2} + 2 \sin \theta + \frac{1}{4} \sin 2\theta \right]_0^{\pi} = \frac{3\pi a^2}{2}. \end{aligned}$$